
ILCにおけるトップクォーク電弱結合の研究

ILC 夏の合宿 2017

佐藤 瑤

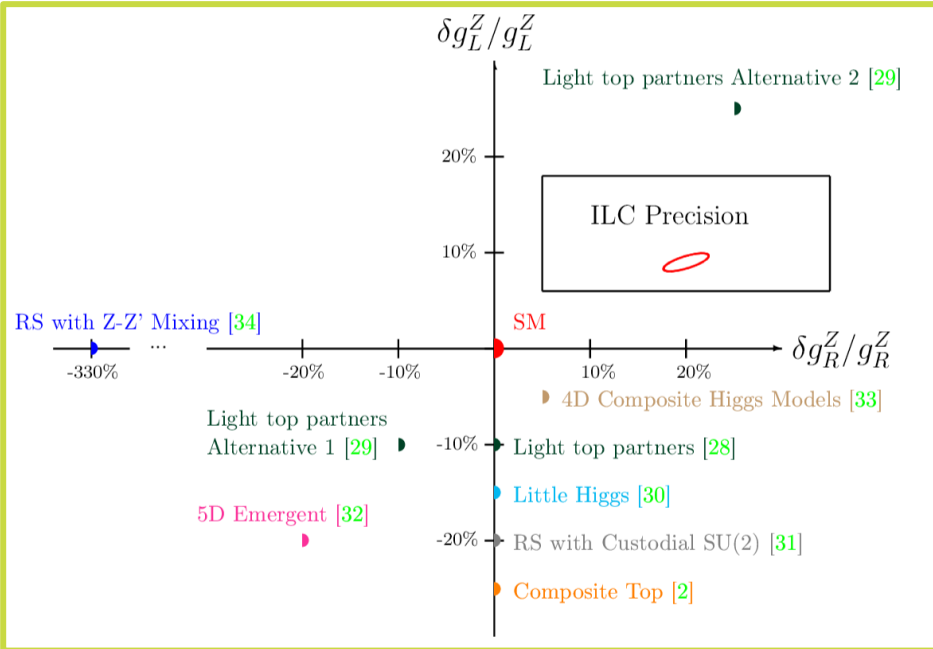
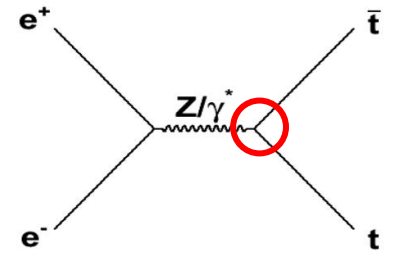
東北大学 素粒子実験グループ

トップクォーク電弱結合について

- トップクォークは標準模型で最も質量の大きい素粒子であり、その質量は電弱スケールにある。電弱対称性破れに強く関連している可能性がある。

トップ電弱結合は新物理を探るための重要な手掛かりのひとつ

$$\mathcal{L}_{\text{int}} = \sum_{v=\gamma, Z} g^v \left[V_l^v \bar{t} \gamma^\mu (F_{1V}^v + F_{1A}^v \gamma_5) t + \frac{i}{2m_t} \partial_\nu V_l^v \bar{t} \sigma^{\mu\nu} (F_{2V}^v + F_{2A}^v \gamma_5) t \right]$$

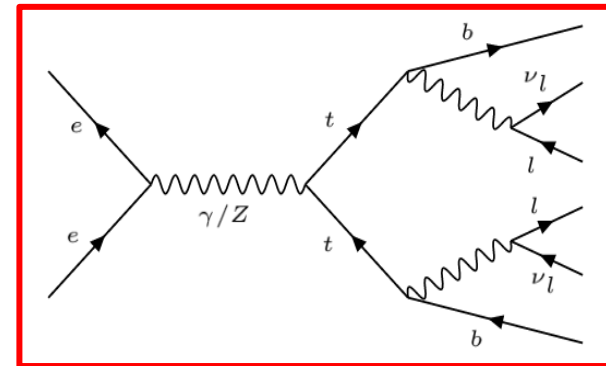


複合モデルなどの新物理モデルでは、Z粒子とトップクォークの結合定数 $g_L^Z, g_R^Z (= F_{1V}^Z \mp F_{1A}^Z)$ が標準模型から10%程度ずれると予言される
 →ILCによって模型の同定が期待される

トップクォーク対生成の di-leptonic 状態

トップクォーク対生成の終状態は以下の3つ:

- Fully-hadronic state ($e^+e^- \rightarrow t\bar{t} \rightarrow b\bar{b}q\bar{q}q\bar{q}$) 46.2 %
- Semi-leptonic state ($e^+e^- \rightarrow t\bar{t} \rightarrow b\bar{b}q\bar{q}lv$) 43.5%
- **Di-leptonic state ($e^+e^- \rightarrow t\bar{t} \rightarrow b\bar{b}lvlv$) 10.3%**



Advantage

- 崩壊粒子の角度情報から ttZ/g vertex についての豊富な情報が得られる
→ 形状因子、結合定数に対しより高い感度を持つ

Difficulty

- 二つのニュートリノを含む → トップクォークの再構成が困難

現実的な状況での再構成手法の開発を行っている

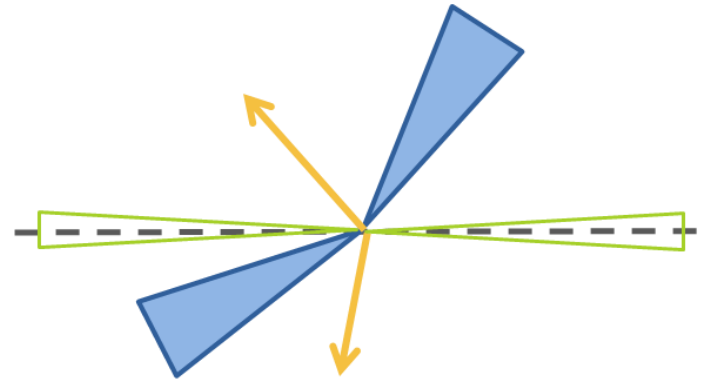
研究のセットアップ

Situation	On / Off
ILD検出器フルシミュレーション	On
ハドロン化の効果	On
トップクォークからのgluon 放出	On
ISR/BS	On
$\gamma\gamma \rightarrow \text{hadrons}$ 事象	On
背景事象	Off (ongoing)

サンプル	<u>Di-muonic state</u> $e^+e^- \rightarrow b\bar{b}\mu^+\nu\mu^-\bar{\nu}$
\sqrt{s}	500 GeV
ビーム偏極 (P_{e^-}, P_{e^+})	(-0.8, +0.3) "Left" / (+0.8, -0.3) "Right"
積分ルミノシティ	500 fb ⁻¹ (50/50 between Left and Right)
イベント生成	Whizard
検出器シミュレーション	ILD_01_v05 (DBD ver.)

トップクォークの再構成過程

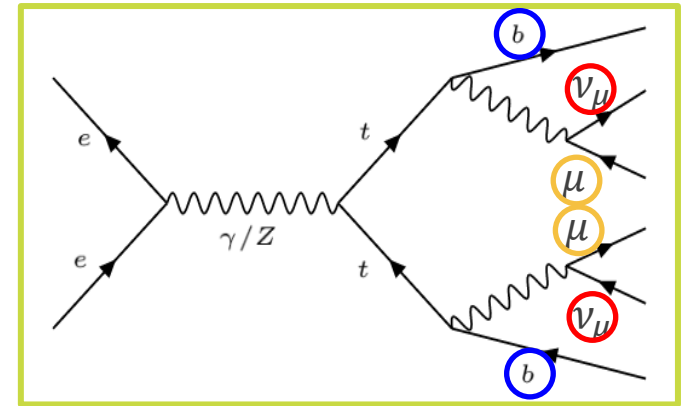
- W粒子から崩壊した**レプトン**を特定する
 - 孤立しているレプトンを選択
 - 粒子数 2 & 電荷が反対を要求
- $\gamma\gamma \rightarrow \text{hadrons}$ 事象のカット
 - 他の粒子から離れていて、ビーム軸に近い粒子をカット
 - kt algorithm (cf. the Semi-leptonic analysis, $R = 1.5$)を用いる
- **b-jet** の再構成
 - LCFI Plus (Durham algorithm) を使用
 - Vertex の数などから “b-jet らしさ” が得られる
- **トップクォークの力学的再構成**



力学的再構成

$$e^+ e^- \rightarrow t\bar{t} \rightarrow b\bar{b}\mu^+ \nu\mu^- \bar{\nu}$$

Measurable	[<u>muon's</u> : $E_{\mu^+}, \theta_{\mu^+}, \phi_{\mu^+}, E_{\mu^-}, \theta_{\mu^-}, \phi_{\mu^-}$ <u>b-jet's</u> : $E_{b1}, \theta_{b1}, \phi_{b1}, E_{b2}, \theta_{b2}, \phi_{b2}$
Missing	



力学的制限を課して未知数を同定する;

- 始状態の制限 : $(\sqrt{s}, \vec{P}_{\text{init.}}) = (500, \vec{0})$
- 質量の制限 : $m_t, m_{\bar{t}}, m_{W^+}, m_{W^-}$

=> **8個の制限 (8 > 6)**

比較的求めるのが難しい E_{b1} と E_{b2} は再構成には用いない

→ b-jetの組み合わせを選択するために用いる

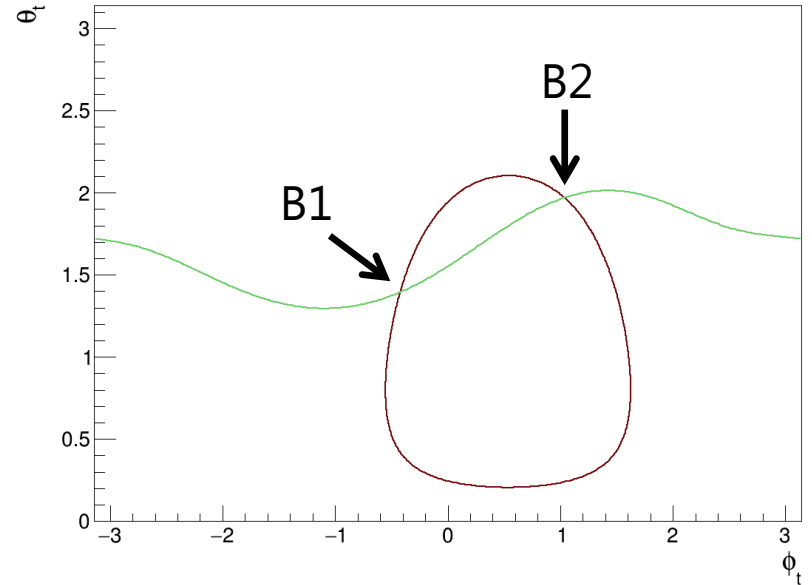
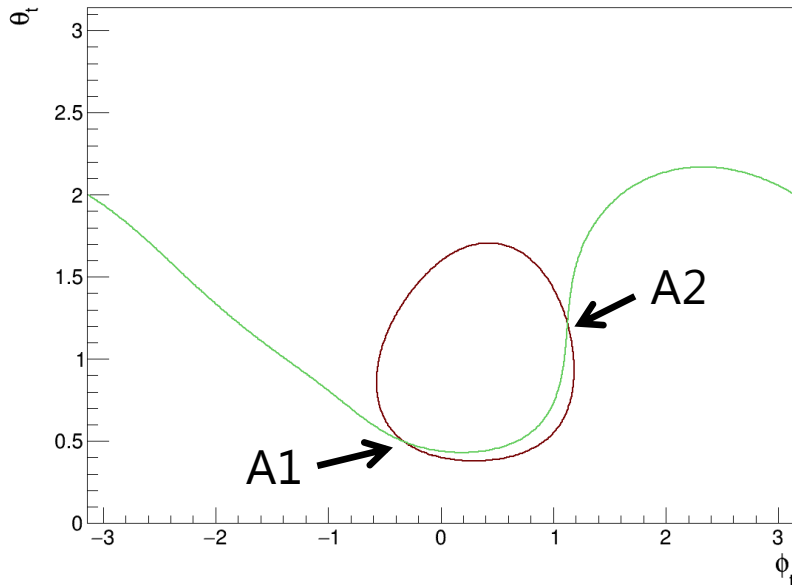
力学的再構成

以下の方程式を解くことでトップクォークの方向を決定する

$$E_{\mu^\pm}^{W^\pm \text{ rest frame}}(\theta_t, \phi_t) = m_{W^\pm}/2 \quad (\text{Red} : \mu^+, \text{Green} : \mu^-)$$

assignment A (correct), $b1 = b$, $b2 = \bar{b}$

assignment B (wrong), $b1 = \bar{b}$, $b2 = b$



方程式が線形でないため、イベントあたり4つ程度の解が存在する

この中から最適解を選択するため E_{b1} と E_{b2} を用いる

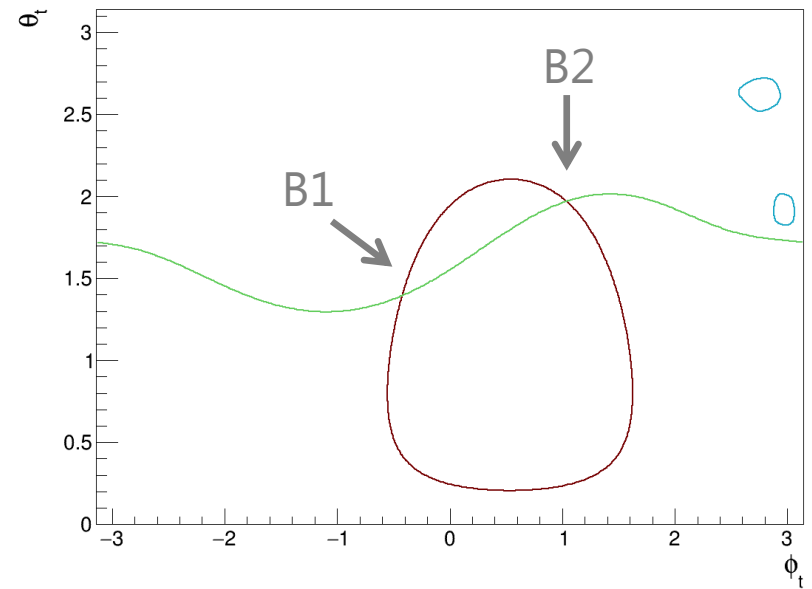
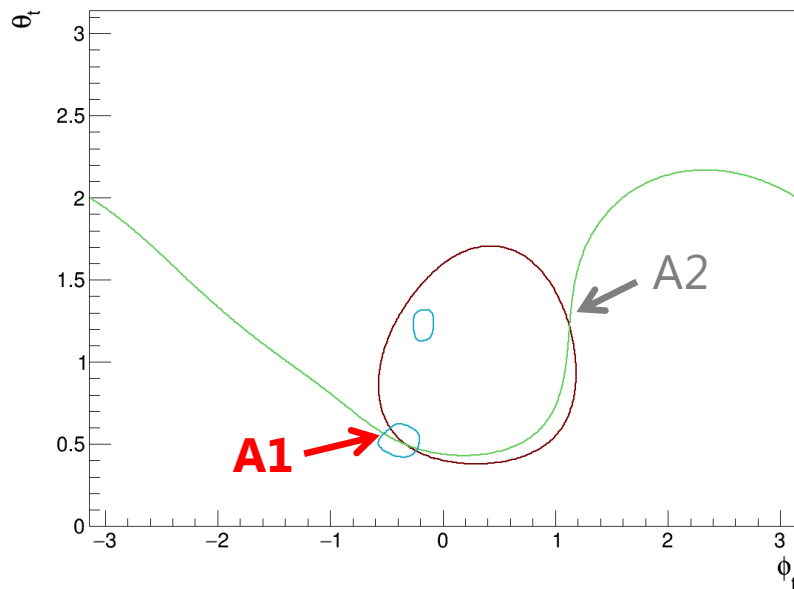
力学的再構成

力学的制限によって得られる値と、b-jet の再構成で得られた値を比較

$$\chi_b^2(\theta_t, \phi_t) \equiv \left(\frac{E_b(\theta_t, \phi_t) - E_b^{\text{meas.}}}{\sigma[E_b^{\text{meas.}}]} \right)^2 + \left(\frac{E_{\bar{b}}(\theta_t, \phi_t) - E_{\bar{b}}^{\text{meas.}}}{\sigma[E_{\bar{b}}^{\text{meas.}}]} \right)^2 = 2 \text{ (Blue)}$$

assignment A (correct), $b1 = b$, $b2 = \bar{b}$

assignment B (wrong), $b1 = \bar{b}$, $b2 = b$



4つの候補のうち**A1**が最も小さい χ_b^2 を持つ → **A1**を最適解として選択！

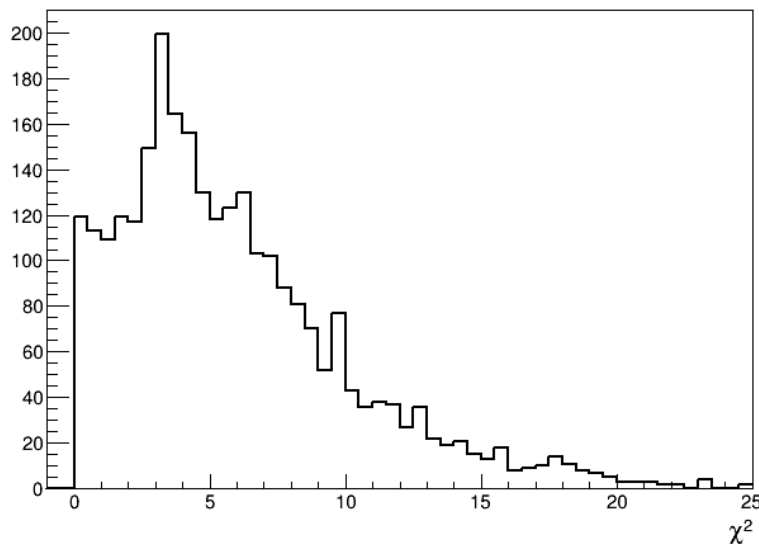
力学的再構成

実験的には χ_{tot}^2 を最小化することで再構成を行う;

$$\chi_{tot}^2(\theta_t, \phi_t) = \chi_{\mu}^2(\theta_t, \phi_t) + \chi_b^2(\theta_t, \phi_t)$$

$$\text{where } \chi_{\mu}^2(\theta_t, \phi_t) \equiv \left(\frac{E_{\mu^+}^{(W^+ \text{ rest frame})}(\theta_t, \phi_t) - m_{W^+}/2}{\sigma[E_{\mu^+}^{(W^+ \text{ rest frame})}]} \right)^2 + \left(\frac{E_{\mu^-}^{(W^- \text{ rest frame})}(\theta_t, \phi_t) - m_{W^-}/2}{\sigma[E_{\mu^-}^{(W^- \text{ rest frame})}]} \right)^2$$

χ_{μ}^2 が (θ_t, ϕ_t) を決定するのには支配的 ($\sigma[E_{\mu}^{(W \text{ rest frame})}] \ll \sigma[E_b]$ のため)



χ_{tot}^2 distribution

再構成の精度による事象選択

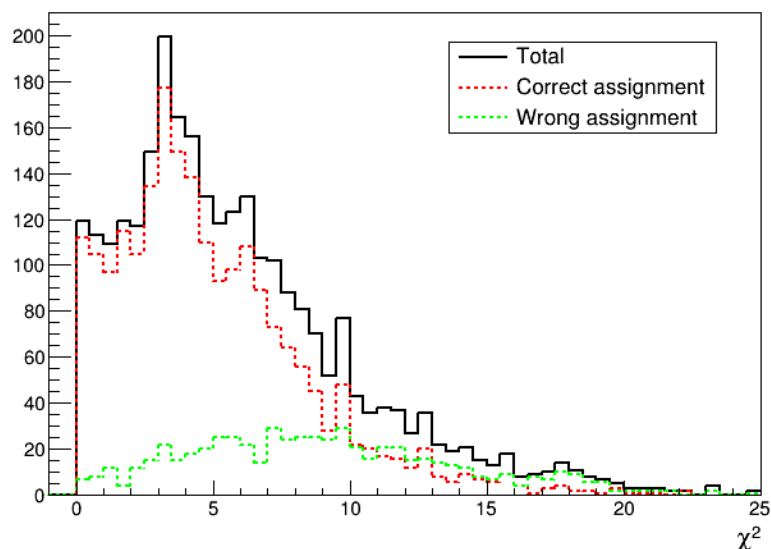
b-jet の組み合わせを間違えてしまうイベントが全体の22%程度

(理由) b-jetの再構成によるエネルギー測定値が真値から離れている

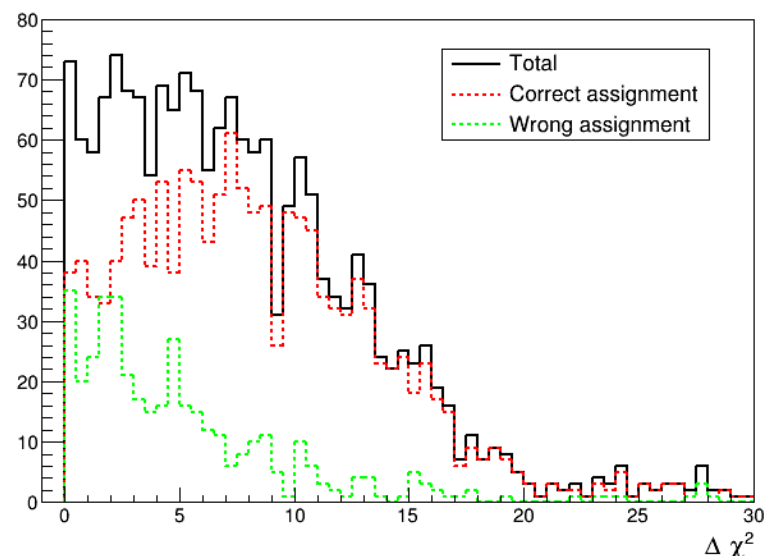
ISRによって初期状態の制限の精度が低くなる 等

再構成の精度が高い事象を選択 (χ_{tot}^2 の値などを使用)

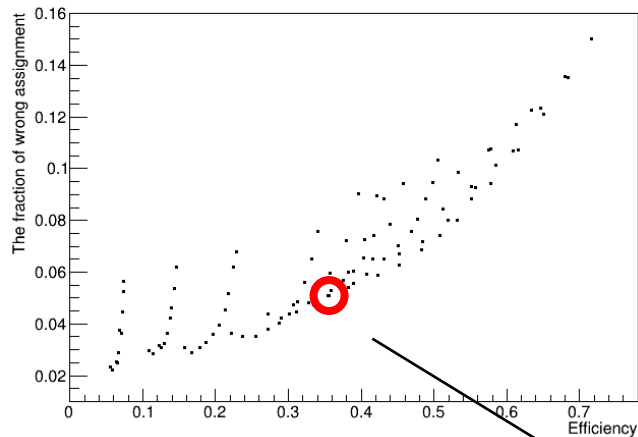
χ_{tot}^2 (as mentioned)



$$\Delta\chi_{tot}^2 = |\chi_{tot,assignment A}^2 - \chi_{tot,assignment B}^2|$$

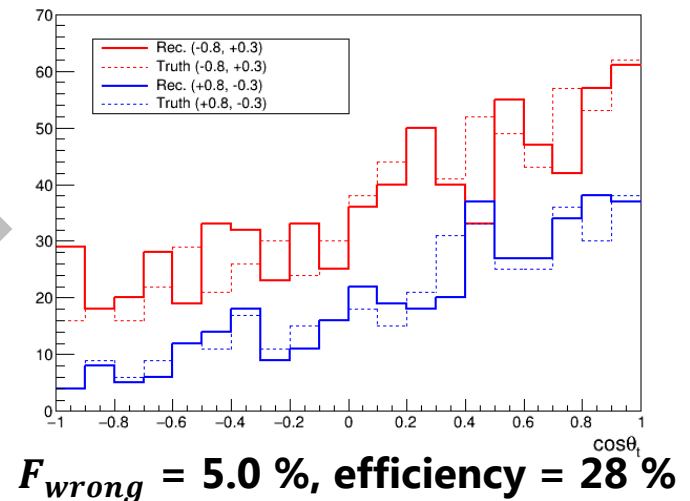
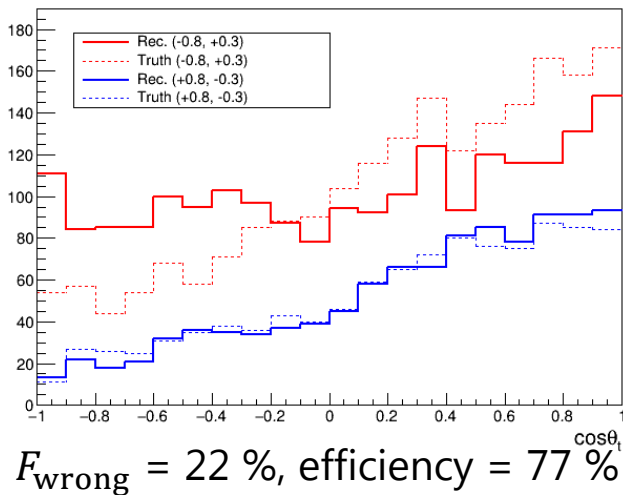


再構成の精度による事象選択



Efficiency vs. F_{wrong}

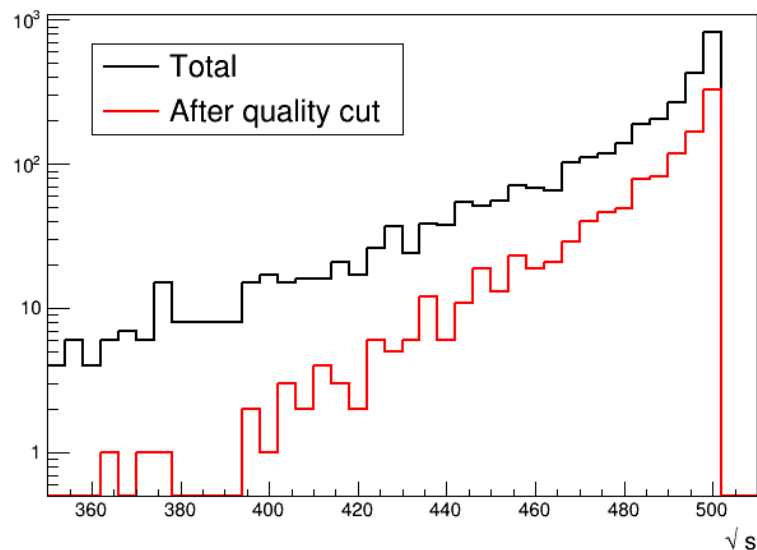
Quality cutの値を変化させて、組間違いの比率と検出効率の変化を調べる



ISRによる \sqrt{s} への影響

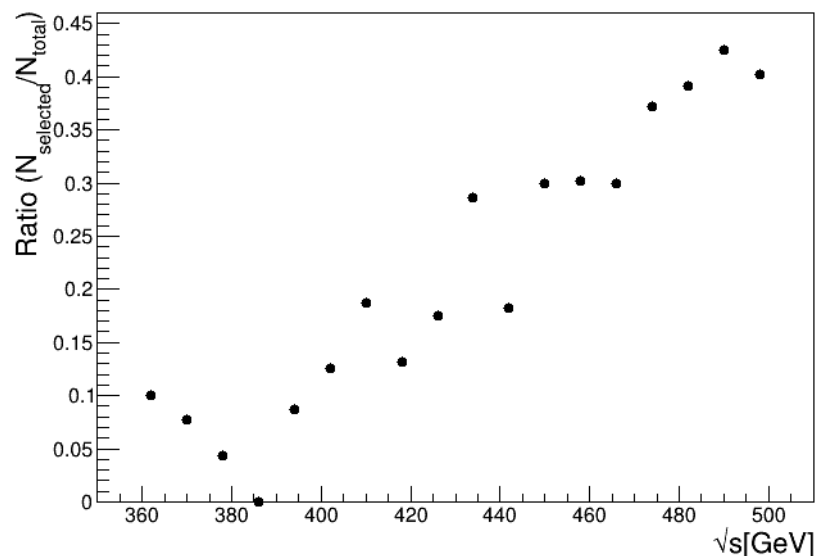
力学的再構成のために始状態の制限を課している

→ ISRによって低い \sqrt{s} のイベントは再構成の精度が低い



Luminosity spectrum

Black : Total events, Red : After quality cut



Ratio of luminosity spectrum (Red/Black)

Quality cut によってイベント数を抑制できるが、まだtailが残る

ISRによる \sqrt{s} への影響

ビーム軸に光子が放出されるとしてフィットを行う

$$e^+e^- \rightarrow b\bar{b}\mu^+\nu\mu^-\bar{\nu} + \gamma_{\text{ISR}}$$

→ 新たにパラメータを導入, K

- $|K| = E_\gamma/250$, hence $\sqrt{s} = 500 * \sqrt{1 - |K|}$
- γ が e^- (e^+) から放出されれば, K は正の値 (負の値).

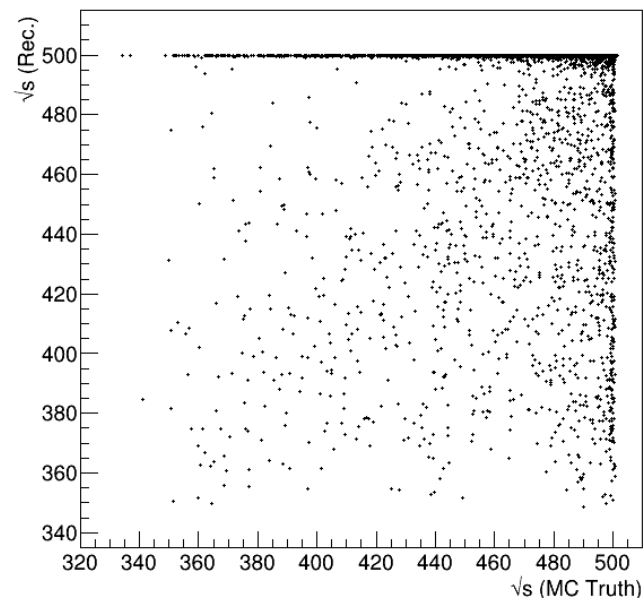
χ_{tot}^2 (θ_t, ϕ_t, K) を最小化する;

$$\chi_{tot}^2 (\theta_t, \phi_t, K) = \chi_{tot}^2 (\theta_t, \phi_t, K) - 2 \log \text{PDF}_K(K)$$

→ Truth と再構成の値に相関無し

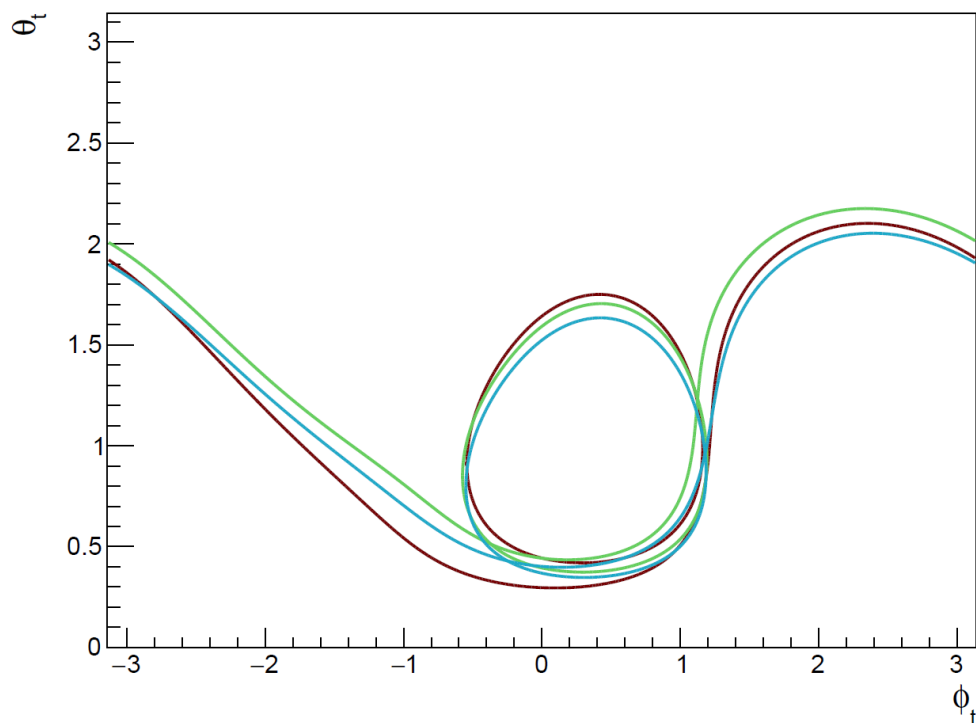
→ 制限が十分でない

現在、 $K = 0$ に固定 (i.e. use $\chi_{tot}^2 (\theta_t, \phi_t)$)



\sqrt{s} (MC Truth vs. Rec.)

ISRによる \sqrt{s} への影響



Solution of $E_\mu(\phi_t, \theta_t; K) = m_W/2$

— $K = -0.1$

— $K = 0$

— $K = +0.1$

Kを変化させても解がある

→ (ϕ_t, θ_t, K) では解が無数に存在する

→ $\chi_b^2(\phi_t, \theta_t, K)$ では選択するだけの精度が無い(?)

ヘリシティ角の計算

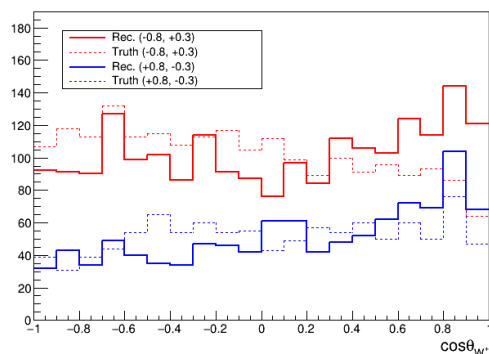
力学的再構成によってニュートリノを含む全粒子の4元運動量が求まる

トップクォークの偏極の情報を持ちうる以下の9つのヘリシティ角を計算

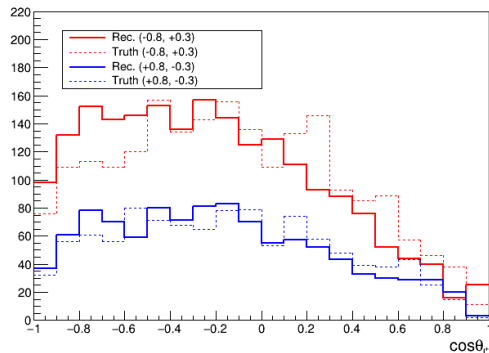
$$\theta_t, \theta_{W^+}^{t \text{ frame}}, \phi_{W^+}^{t \text{ frame}}, \theta_{\mu^+}^{W^+ \text{ frame}}, \phi_{\mu^+}^{W^+ \text{ frame}}, \theta_{W^-}^{\bar{t} \text{ frame}}, \phi_{W^-}^{\bar{t} \text{ frame}}, \theta_{\mu^-}^{W^- \text{ frame}}, \phi_{\mu^-}^{W^- \text{ frame}}$$

(G. L. Kane, G. A. Ladinsky, C.-P. Yuan, Phys.Rev. D45 (1992) 124-141)

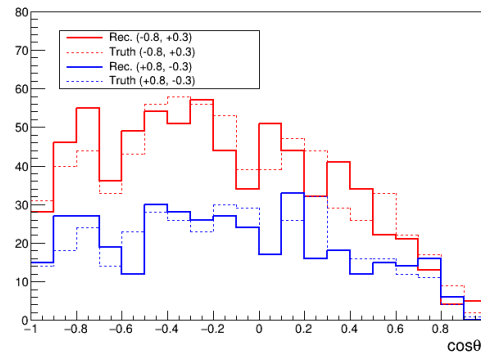
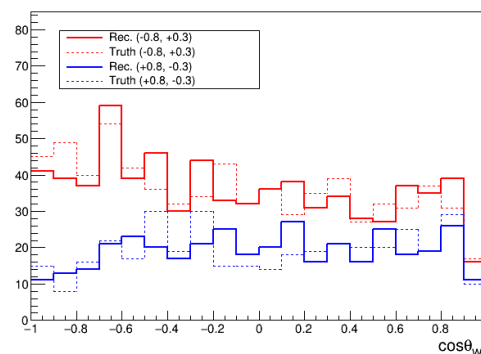
eg)
 $\cos \theta_{W^+}^{t \text{ frame}}$



$\cos \theta_{\mu^+}^{W^+ \text{ frame}}$



Quality cut



Matrix Element 法による解析

ヘリシティ角と全断面積から、形状因子の測定を行う。

Matrix element 法

$$-2 \log L(F) (= \chi^2(F)) = -2 \left(\sum_{e=1}^{N_{\text{event}}} \log |M|^2(\Phi_e, F) - N(F) \right)$$

$|M|^2$: the full matrix element, Φ_e : the 9 helicity angles, F : the form factors, $N(F)$: the expected number of events.

$\chi^2(F)$ を最小化する \rightarrow その過程で次の変数が自動的に導入される;

$$\omega_i(\Phi_e) = \frac{1}{|M|^2(\Phi_e)} \frac{\partial |M|^2(\Phi_e)}{\partial F_i} \Big|_{F \text{ at SM}}, \quad \Omega_i = \frac{1}{N} \frac{\partial N}{\partial F_i} \Big|_{F \text{ at SM}}$$

測定結果は $\omega_i(\Phi_e)$ と Ω_i で記述できる

- $\delta F_i (= F_{\text{fit}} - F_{\text{SM}}) \simeq \frac{\langle \omega_i - \Omega_i \rangle}{\langle (\omega_i - \Omega_i)^2 \rangle}$
- covariance matrix, V_{ij} ;

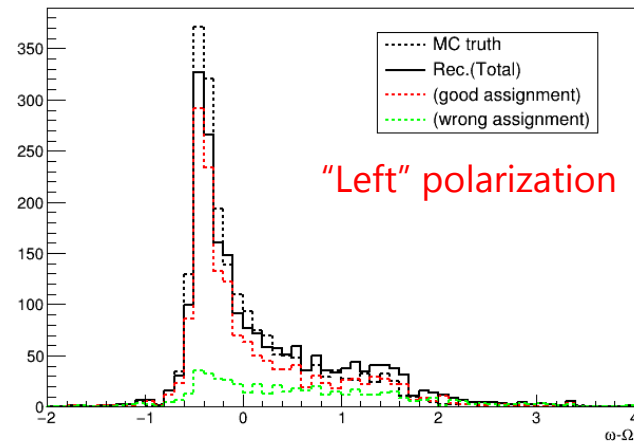
$$V_{ij}^{-1} = N_{\text{event}} \langle (\omega_i - \Omega_i)(\omega_j - \Omega_j) \rangle$$

形状因子の測定精度 : CP保存

$\delta\tilde{F}_{1V}^\gamma$ の測定 (その他のパラメータはSMに固定)

Before the quality cut (total efficiency 77%)

$$\delta\tilde{F}_{1V}^\gamma = 0.0223 \pm 0.0066, \chi_{\text{test}}^2 = 11.4 \Leftrightarrow 0.07\% \text{ CL}$$



The histogram of $\omega - \Omega$ for $\delta\tilde{F}_{1V}^\gamma$
(before quality cut)

組間違いのイベントの $\omega - \Omega$ 分布(Green)

- 大きいほうにシフト→バイアスの原因
- 広がり大きい→精度をover estimate

* $\chi_{\text{test}}^2 = \sum \delta F_i V_{ij}^{-1} \delta F_j$: the chi-square test

形状因子の測定精度 : CP保存

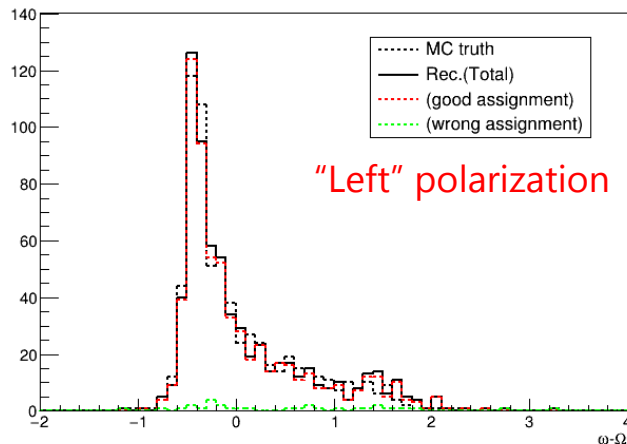
$\delta\tilde{F}_{1V}^{\gamma}$ の測定 (その他のパラメータはSMに固定)

Before the quality cut (total efficiency 77%)

$$\delta\tilde{F}_{1V}^{\gamma} = 0.0223 \pm 0.0066, \chi_{\text{test}}^2 = 11.4 \Leftrightarrow 0.07\% \text{ CL}$$

After the quality cut (total efficiency 28%)

$$\delta\tilde{F}_{1V}^{\gamma} = 0.0075 \pm 0.0115, \chi_{\text{test}}^2 = 0.43 \Leftrightarrow 51\% \text{ CL}$$



The histogram of $\omega - \Omega$ for $\delta\tilde{F}_{1V}^{\gamma}$
(after quality cut)

再構成とMC truthの分布が一致

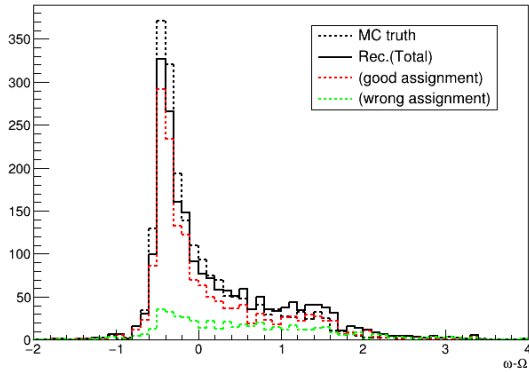
→ バイアスが消えた

→ 統計エラーは大きくなる

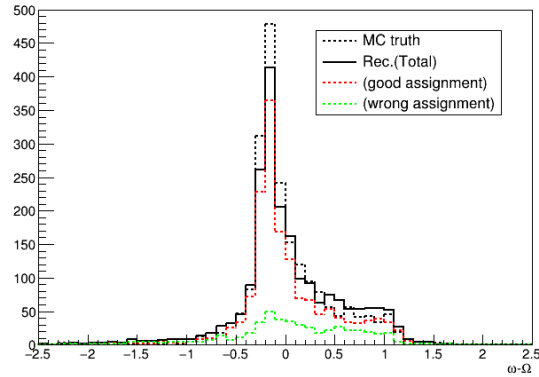
$\omega - \Omega$ 分布 (bef. the quality cut)

“Left” polarization

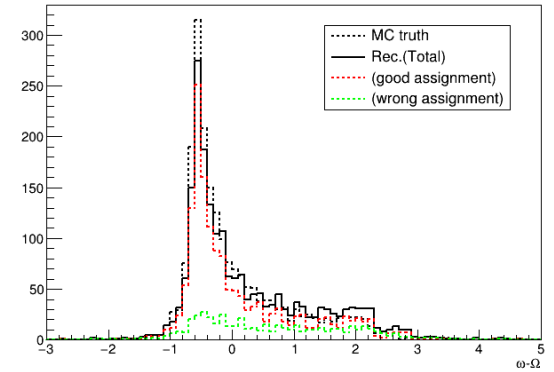
$$(\delta\tilde{F}_{1V}^Y)$$



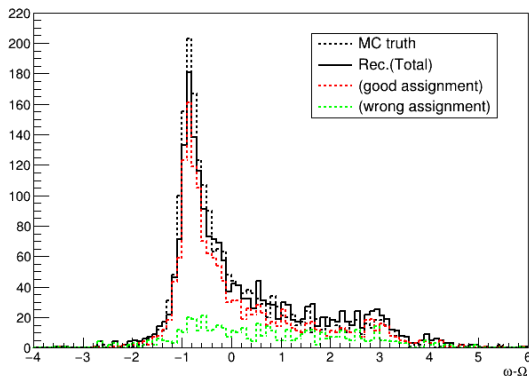
$$(\delta\tilde{F}_{1V}^Z)$$



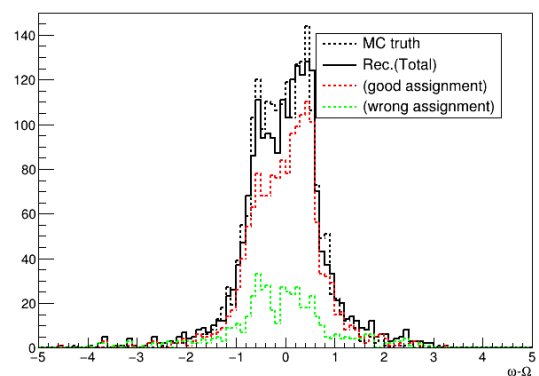
$$(\delta\tilde{F}_{1A}^Y)$$



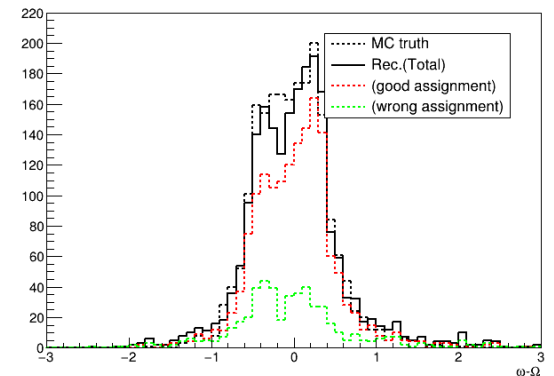
$$(\delta\tilde{F}_{1A}^Z)$$



$$(\delta\tilde{F}_{2V}^Y)$$



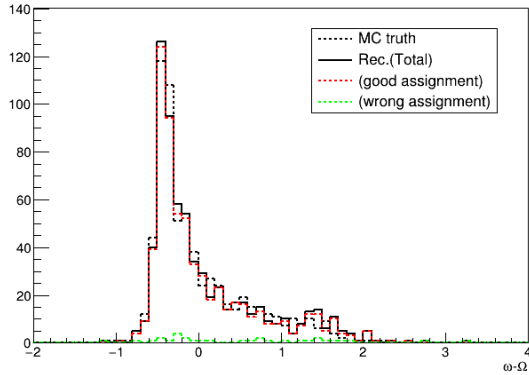
$$(\delta\tilde{F}_{2V}^Z)$$



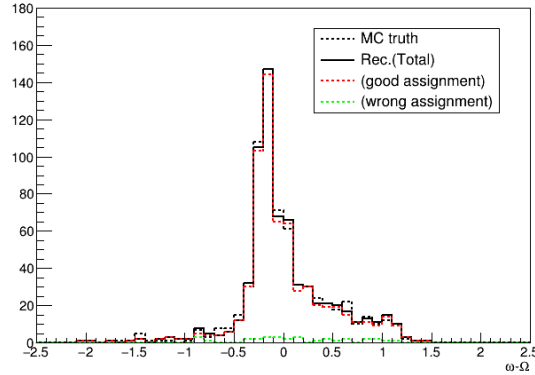
$\omega - \Omega$ 分布 (aft. the quality cut)

“Left” polarization

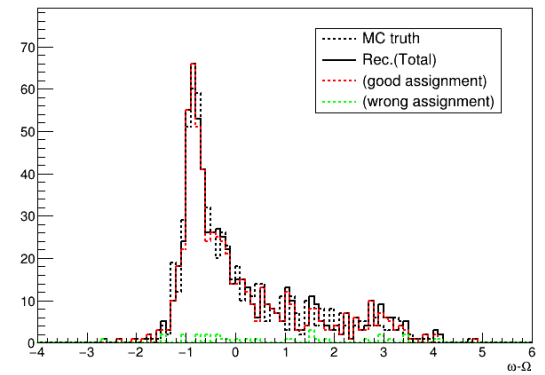
$$(\delta\tilde{F}_{1V}^\gamma)$$



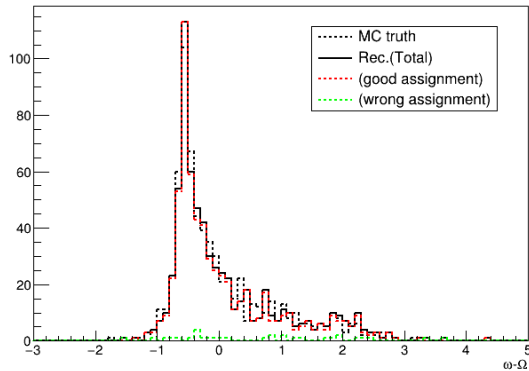
$$(\delta\tilde{F}_{1V}^Z)$$



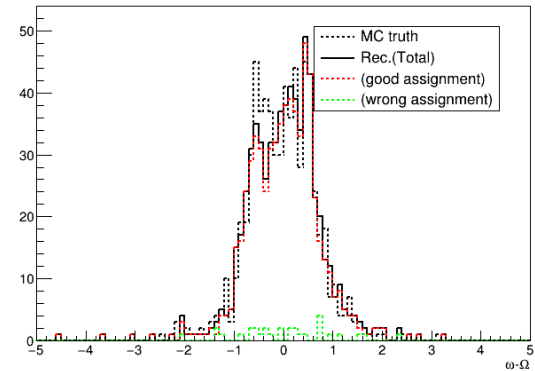
$$(\delta\tilde{F}_{1A}^\gamma)$$



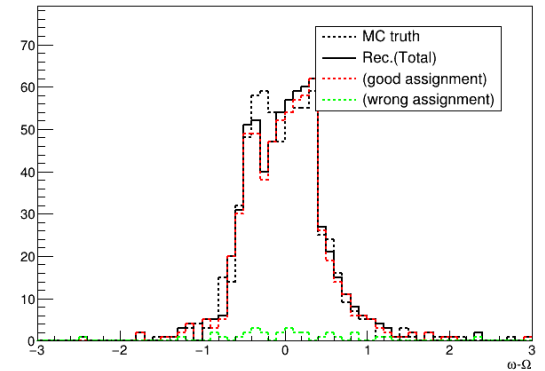
$$(\delta\tilde{F}_{1A}^Z)$$



$$(\delta\tilde{F}_{2V}^\gamma)$$



$$(\delta\tilde{F}_{2V}^Z)$$



形状因子の測定精度 : CP保存

6つのCP保存の形状因子の同時測定

Before quality cut (total efficiency 77%)

$$\begin{bmatrix} \mathcal{R}e \delta \tilde{F}_{1V}^{\gamma} & +0.0188 \pm 0.0089 \\ \mathcal{R}e \delta \tilde{F}_{1V}^Z & +0.0293 \pm 0.0161 \\ \mathcal{R}e \delta \tilde{F}_{1A}^{\gamma} & +0.0280 \pm 0.0133 \\ \mathcal{R}e \delta \tilde{F}_{1A}^Z & +0.2250 \pm 0.0202 \\ \mathcal{R}e \delta \tilde{F}_{2V}^{\gamma} & -0.0246 \pm 0.0260 \\ \mathcal{R}e \delta \tilde{F}_{2V}^Z & +0.1448 \pm 0.0435 \end{bmatrix}$$
$$\chi_{\text{test}}^2 = 166 \Leftrightarrow \sim 0\% \text{ CL}$$

After quality cut (total efficiency 28%)

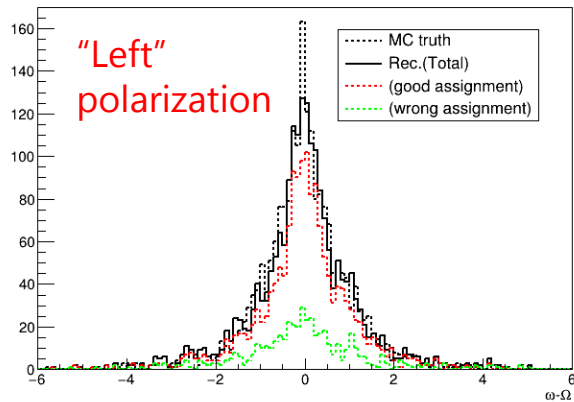
$$\begin{bmatrix} \mathcal{R}e \delta \tilde{F}_{1V}^{\gamma} & +0.0088 \pm 0.0154 \\ \mathcal{R}e \delta \tilde{F}_{1V}^Z & +0.0339 \pm 0.0270 \\ \mathcal{R}e \delta \tilde{F}_{1A}^{\gamma} & +0.0233 \pm 0.0221 \\ \mathcal{R}e \delta \tilde{F}_{1A}^Z & +0.0704 \pm 0.0340 \\ \mathcal{R}e \delta \tilde{F}_{2V}^{\gamma} & +0.0788 \pm 0.0461 \\ \mathcal{R}e \delta \tilde{F}_{2V}^Z & +0.1244 \pm 0.0762 \end{bmatrix}$$
$$\chi_{\text{test}}^2 = 10.0 \Leftrightarrow 12.5\% \text{ CL}$$

形状因子の測定精度 : CP非保存

$Re\delta\tilde{F}_{2A}^Y$ の測定 (その他のパラメータはSMに固定)

Before the quality cut (total efficiency 77%)

$$Re\delta\tilde{F}_{2A}^Y = -0.0172 \pm 0.0185, \chi_{\text{test}}^2 = 0.87 \Leftrightarrow 35\% \text{ CL}$$



The histogram of $\omega - \Omega$ for $Re\delta\tilde{F}_{2A}^Y$ (before quality cut)

組間違いのイベントの $\omega - \Omega$ 分布(Green)

- 0 にピークを持つ
 - バイアスに対する明らかな効果を持たない (→ χ_{test}^2 はミスリーディング)
 - 新物理の効果を薄めてしまう可能性あり (Non 0の持つサンプルでの検証が必要)

形状因子の測定精度 : CP非保存

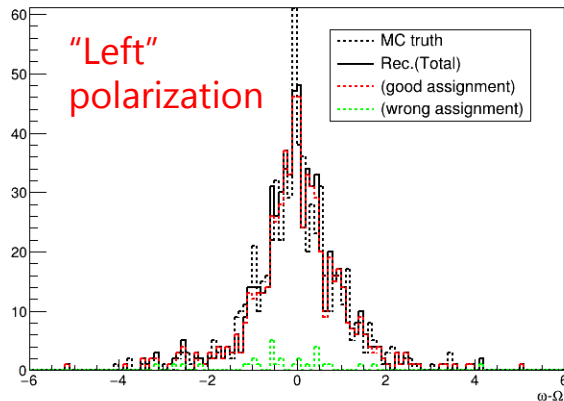
$Re\delta\tilde{F}_{2A}^Y$ の測定 (その他のパラメータはSMに固定)

Before the quality cut (total efficiency 77%)

$$Re\delta\tilde{F}_{2A}^Y = -0.0172 \pm 0.0185, \chi_{\text{test}}^2 = 0.87 \Leftrightarrow 35\% \text{ CL}$$

After the quality cut ($\chi_{\text{tot}}^2 < 5$ & $\Delta\chi_{\text{tot}}^2 > 6$, total efficiency 28%)

$$Re\delta\tilde{F}_{2A}^Y = -0.0052 \pm 0.0287, \chi_{\text{test}}^2 = 0.034 \Leftrightarrow 85\% \text{ CL}$$



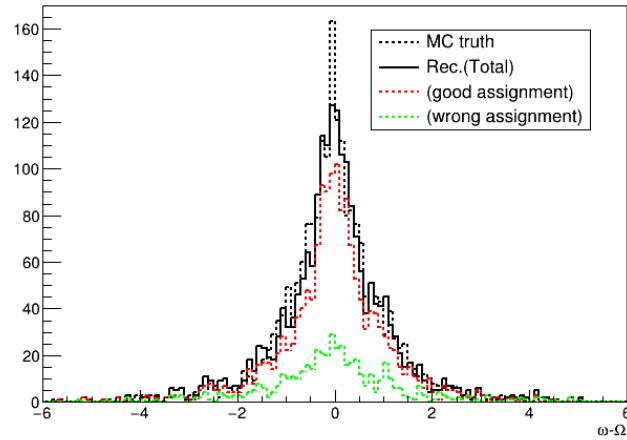
The histogram of $\omega - \Omega$ for $Re\delta\tilde{F}_{2A}^Y$ (after quality cut)

再構成とMC truthの分布が一致
(Greenの分布が消えた)

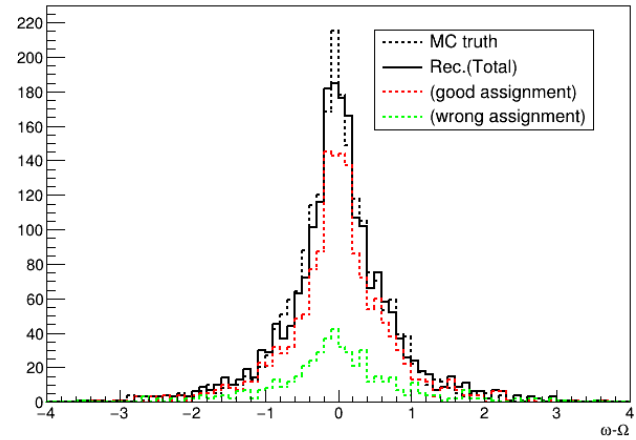
$\omega - \Omega$ 分布 (bef. the quality cut)

“Left” polarization

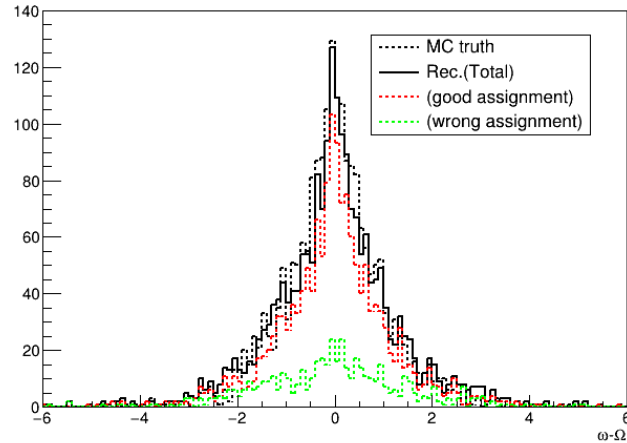
$(\text{Re}\delta\tilde{F}_{2A}^Y)$



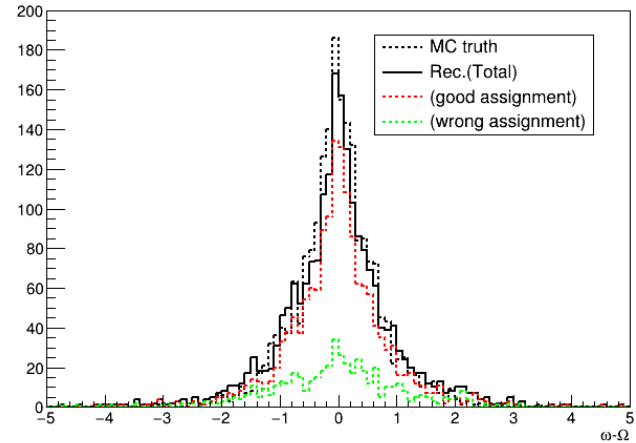
$(\text{Re}\delta\tilde{F}_{2A}^Z)$



$(\text{Im}\delta\tilde{F}_{2A}^Y)$



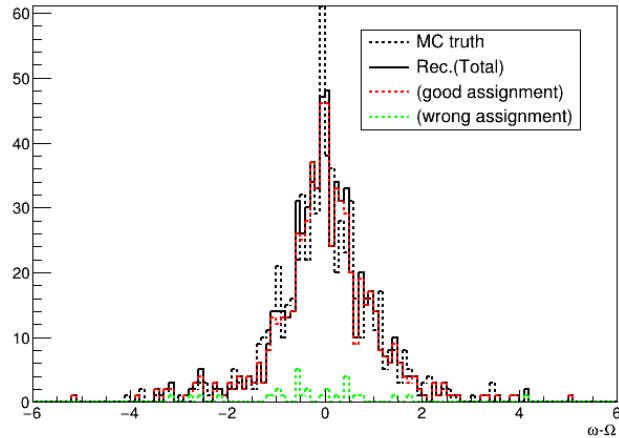
$(\text{Im}\delta\tilde{F}_{2A}^Z)$



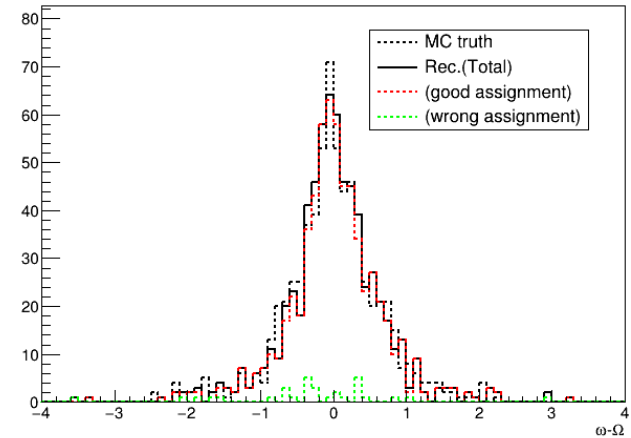
$\omega - \Omega$ 分布 (aft. the quality cut)

“Left” polarization

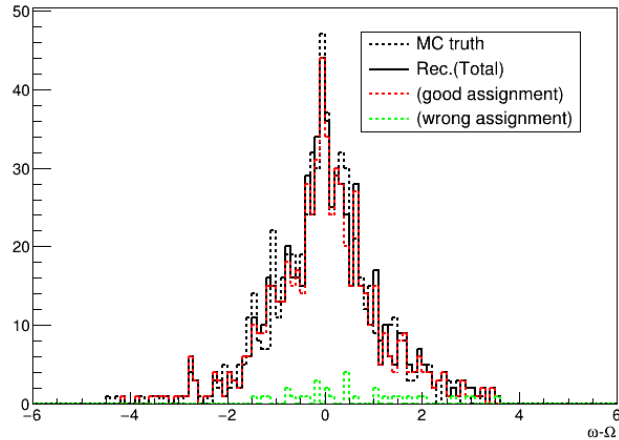
$$(Re\delta\tilde{F}_{2A}^Y)$$



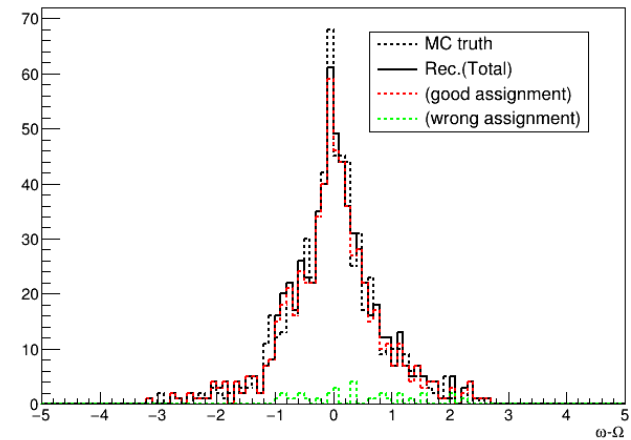
$$(Re\delta\tilde{F}_{2A}^Z)$$



$$(Im\delta\tilde{F}_{2A}^Y)$$



$$(Im\delta\tilde{F}_{2A}^Z)$$



形状因子の測定精度 : CP非保存

4つのCP非保存の形状因子の同時測定

Before quality cut (total efficiency 77%)

$$\begin{bmatrix} \mathcal{R}e \delta \tilde{F}_{2A}^{\gamma} & -0.0196 \pm 0.0185 \\ \mathcal{R}e \delta \tilde{F}_{2A}^Z & +0.0307 \pm 0.0357 \\ \mathcal{I}m \delta \tilde{F}_{2A}^{\gamma} & -0.0324 \pm 0.0177 \\ \mathcal{I}m \delta \tilde{F}_{2A}^Z & +0.0111 \pm 0.0239 \end{bmatrix}$$

$$\chi_{\text{test}}^2 = 5.0 \Leftrightarrow 29\% \text{ CL}$$

After quality cut ($\chi_{\text{tot}}^2 < 5$ & $\Delta\chi_{\text{tot}}^2 > 6$, total efficiency 28%)

$$\begin{bmatrix} \mathcal{R}e \delta \tilde{F}_{2A}^{\gamma} & -0.0022 \pm 0.0287 \\ \mathcal{R}e \delta \tilde{F}_{2A}^Z & +0.0423 \pm 0.0567 \\ \mathcal{I}m \delta \tilde{F}_{2A}^{\gamma} & -0.0026 \pm 0.0300 \\ \mathcal{I}m \delta \tilde{F}_{2A}^Z & +0.0148 \pm 0.0419 \end{bmatrix}$$

$$\chi_{\text{test}}^2 = 0.64 \Leftrightarrow 96\% \text{ CL}$$

まとめ

- **Di-leptonic 終状態を用いた解析では、多くの角度情報を再構成できるため、形状因子に対して高い感度を得られる**
- **力学的制限によるトップクォークの再構成**
 - Quality cut によってb-jet の組間違いのイベントを抑制し、角度分布を正しく再構成することが可能である
- **Matrix element 法による形状因子の測定**
 - CP保存 : Quality cut によってバイアスが消滅
 - CP非保存 : 組間違いのイベントはバイアスに対して明らかな効果を持たない (Non 0のCPV効果を持つサンプルで検証が必要) 。

今後の課題 : background study

- $bb\tau\nu\mu\nu \rightarrow bb(\mu\nu\nu)\nu\mu\nu$ の取り扱いを考える

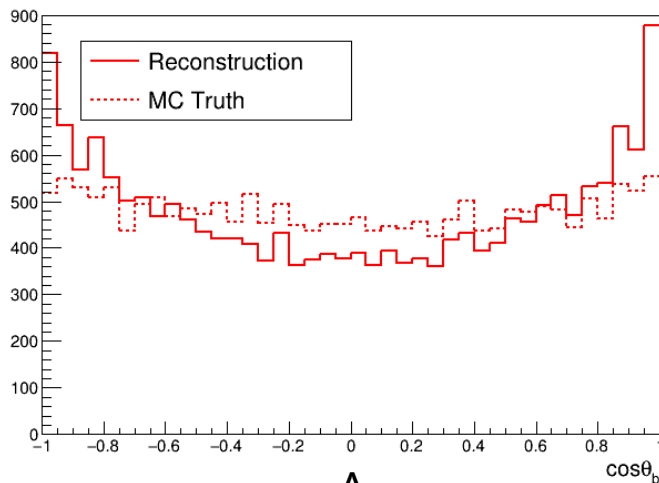
Back up

Suppression of $\gamma\gamma \rightarrow$ hadrons & b-jet reconstruction

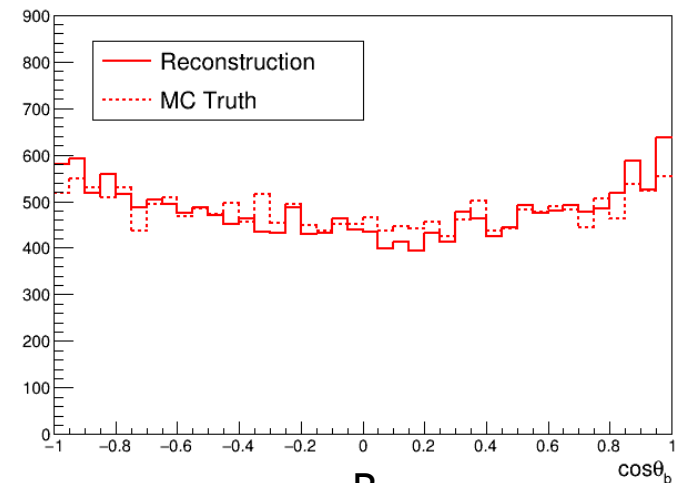
Particles from $\gamma\gamma \rightarrow$ hadrons are mostly emitted along the beam direction. The direction of the b-jet is affected by these particles.

Suppress these particles using the kt algorithm ($R=1.5$).

→ The direction of the b-jet is improved.



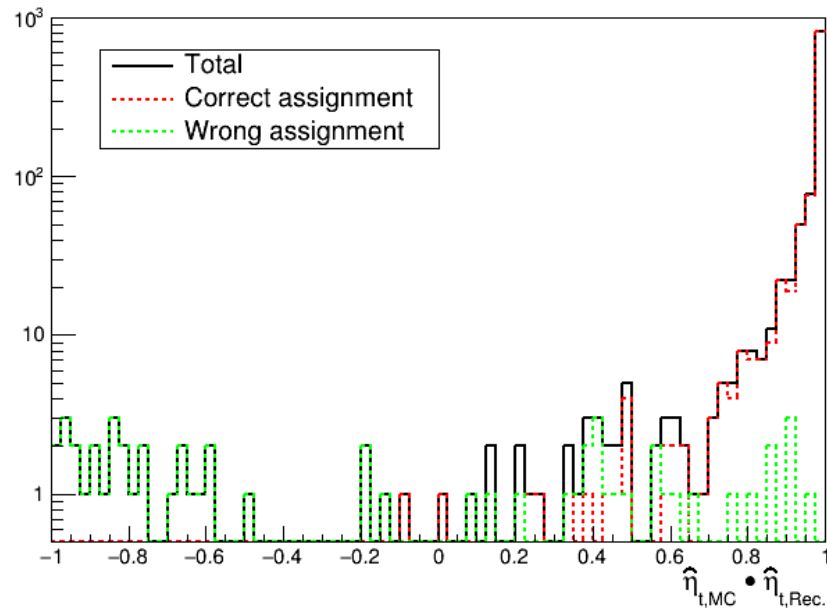
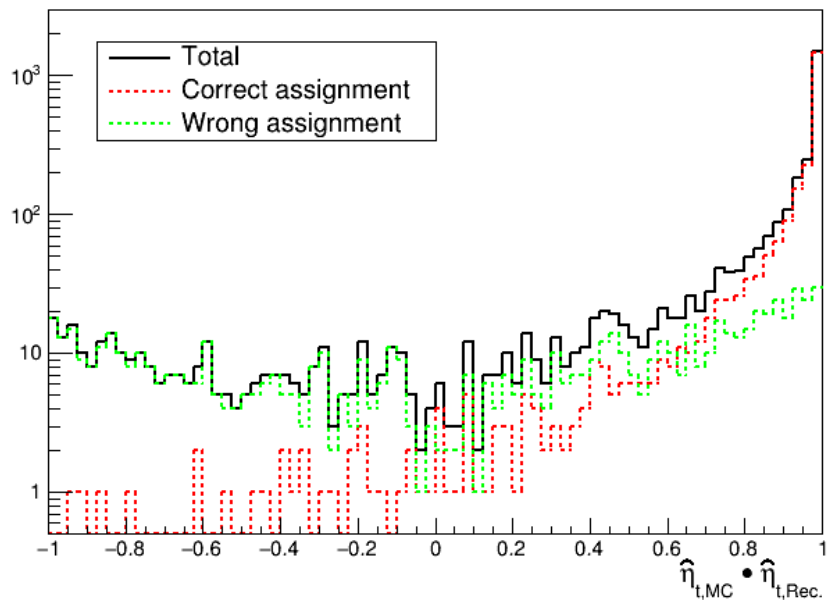
A



B

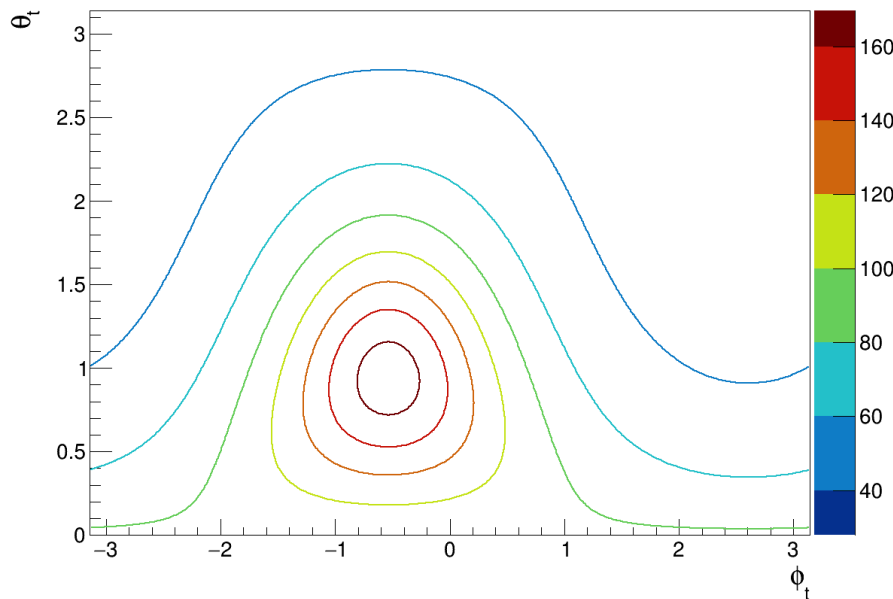
The polar angle distribution b-jets. A: without the suppression of $\gamma\gamma \rightarrow$ hadrons, B: with the suppression of $\gamma\gamma \rightarrow$ hadrons

Scalar product, $\hat{\eta}_{t,MC} \cdot \hat{\eta}_{t,Rec.}$.



Kinematical reconstruction of top

To select the optimal solution, we compare E_b and $E_{\bar{b}}$ between calculated by (θ_t, ϕ_t) and measured by the b-jet reconstruction.



$E_b(\theta_t, \phi_t)$ in the case of assignment A

$$\chi_b^2(\theta_t, \phi_t) = \left(\frac{E_b(\theta_t, \phi_t) - E_b^{\text{meas.}}}{\sigma[E_b^{\text{meas.}}]} \right)^2 + \left(\frac{E_{\bar{b}}(\theta_t, \phi_t) - E_{\bar{b}}^{\text{meas.}}}{\sigma[E_{\bar{b}}^{\text{meas.}}]} \right)^2$$

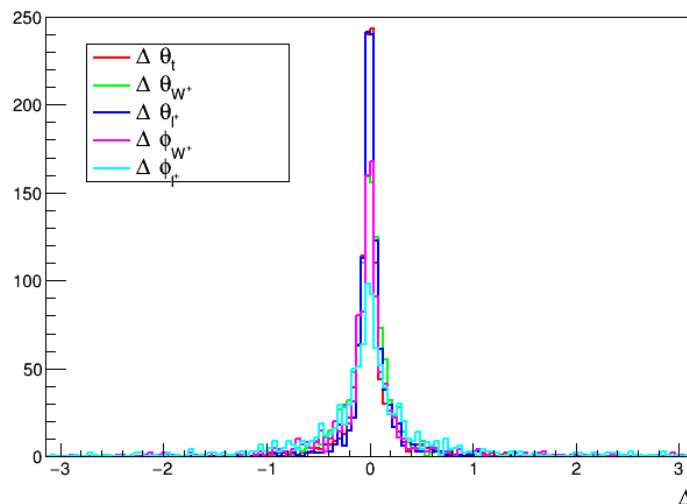
Compute χ_b^2 for each candidate → **Pick one which has the smallest χ_b^2**

\tilde{F}_{2V}^Z fit (The simplest case)

Other ways to reduce the bias

- Convolve the $|M|^2$ with the resolution function of the helicity angles

$$|M|^2 *$$



$$= |M|_{\text{cov.}}^2$$

The deviation of each helicity angles

- Use other quantities for the quality cut.

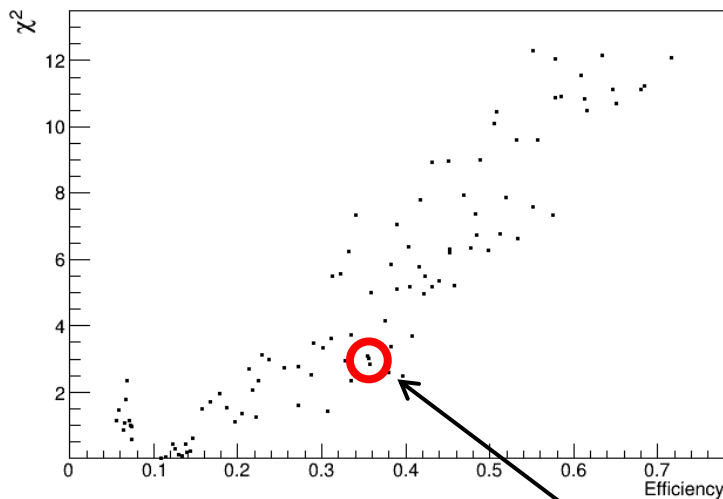
$$\text{eg) } \left| \chi_{tot, \text{caseA1(B1)}}^2 - \chi_{tot, \text{caseA2(B2)}}^2 \right|$$

\tilde{F}_{2V}^Z Fit (The simplest case)

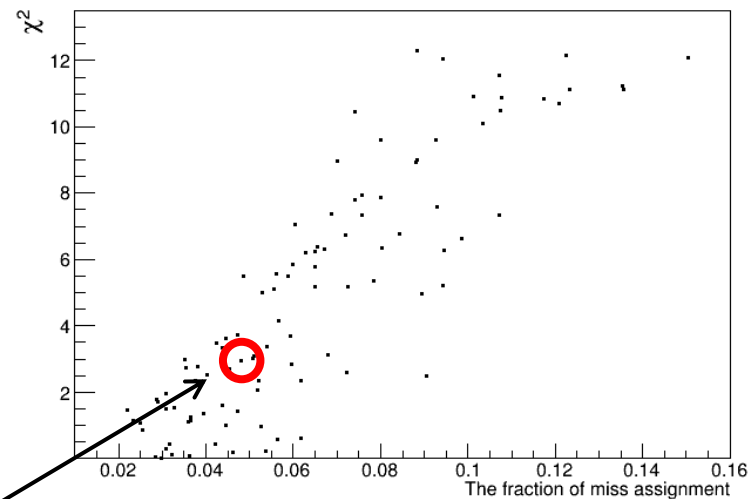
(Fix the other form factors at the SM)

Before quality cut

$$\delta\tilde{F}_{2V}^Z = 0.117 \pm 0.033, \chi_{\text{test}}^2 = 12.6 \text{ (confidence level = 0.03\%)}$$



χ^2 vs Efficiency



χ^2 vs F_{wrong}

After quality cut ($\chi_{\text{tot}}^2 < 5$ & $\Delta\chi_{\text{tot}}^2 > 6$, efficiency 36%)

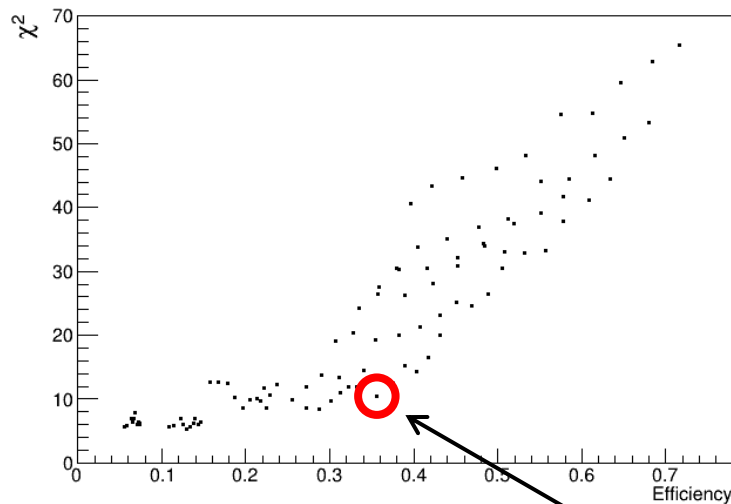
$$\delta\tilde{F}_{2V}^Z = 0.096 \pm 0.055, \chi_{\text{test}}^2 = 3.0 \text{ (confidence level = 8.3\%)}$$

6 CPC form factors fit

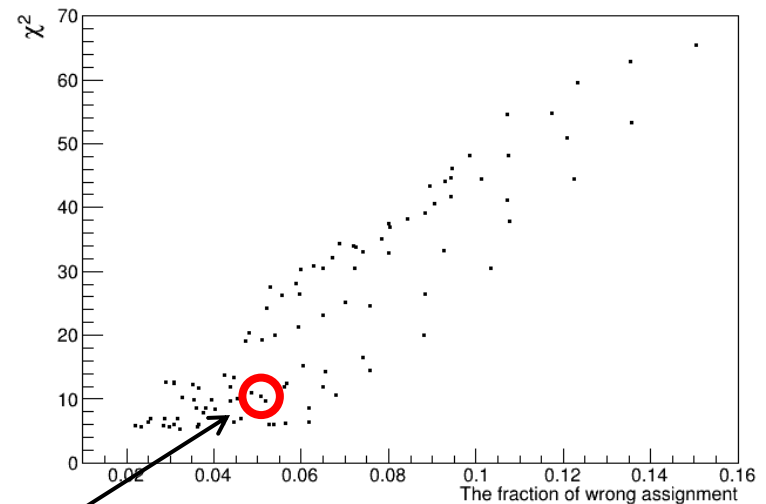
Fit 6 form factors ($\tilde{F}_{1V}^\gamma, \tilde{F}_{1V}^Z, \tilde{F}_{1A}^\gamma, \tilde{F}_{1A}^Z, \tilde{F}_{2V}^\gamma, \tilde{F}_{2V}^Z$)

Before quality cut

$\langle \sigma_F \rangle = 0.021, \chi^2 = 141$ (confidence level $\sim 0\%$)



χ^2 vs Efficiency



χ^2 vs F_{wrong}

After quality cut ($\chi_{tot}^2 < 5$ & $\Delta\chi_{tot}^2 > 6$, efficiency 36%)

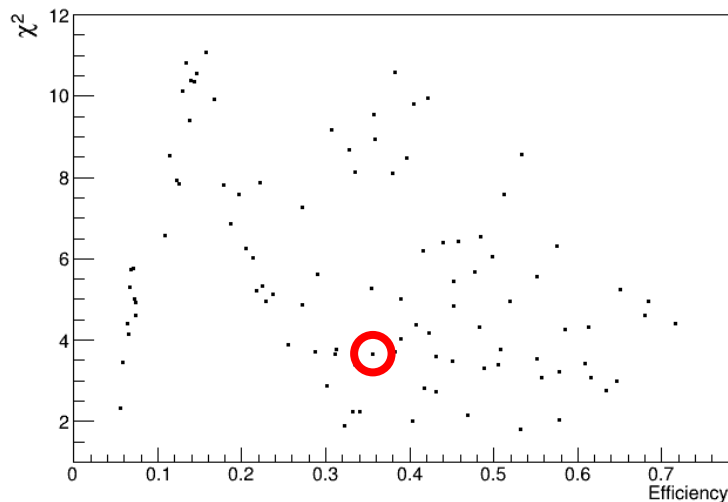
$\langle \sigma_F \rangle = 0.035, \chi^2 = 10.5$ (confidence level = 11%)

4 CP Violating Form Factors Fit

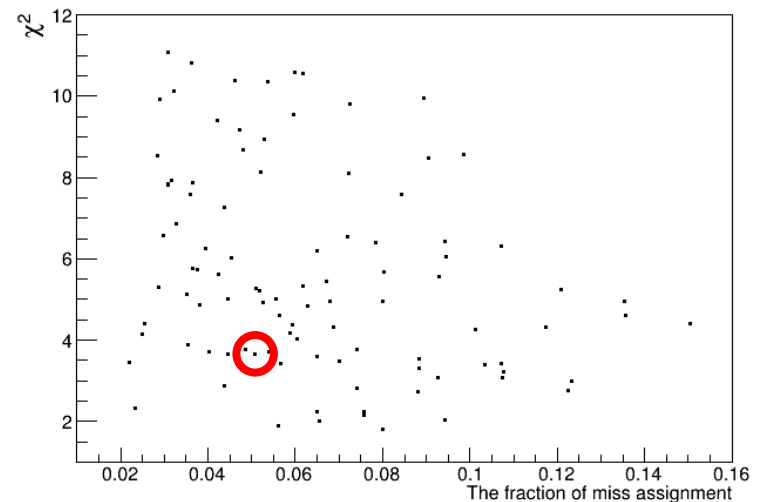
Fit 4 form factors ($Re\tilde{F}_{2A}^\gamma, Re\tilde{F}_{2A}^Z, Im\tilde{F}_{2A}^\gamma, Im\tilde{F}_{2A}^Z$)

Before quality cut

$\langle \sigma_F \rangle = 0.026, \chi^2 = 8.6$ (confidence level = 7.2 %)



χ^2 vs Efficiency



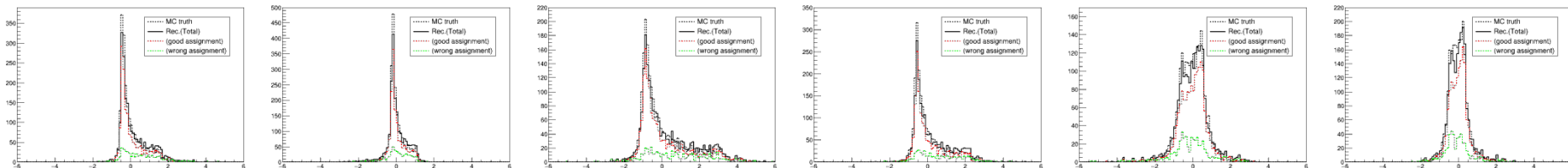
χ^2 vs F_{wrong}

After quality cut ($\chi_{tot}^2 < 5$ & $\Delta\chi_{tot}^2 > 6$, efficiency 35%)

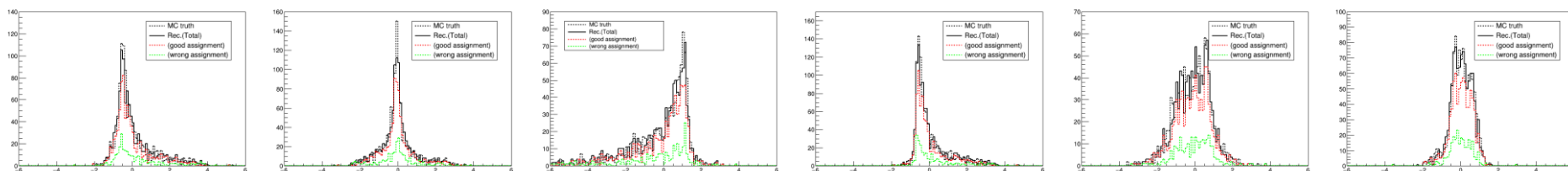
$\langle \sigma_F \rangle = 0.038, \chi^2 = 3.7$ (confidence level = 45 %)

The distributions of $\omega - \Omega$ (bef. the quality cut)

“Left” polarization

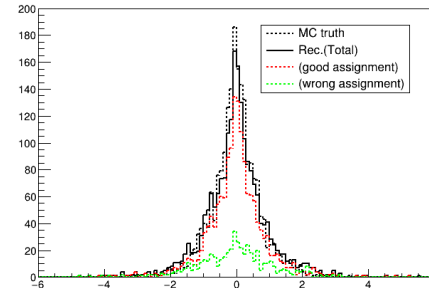
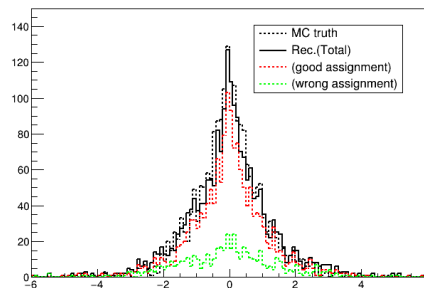
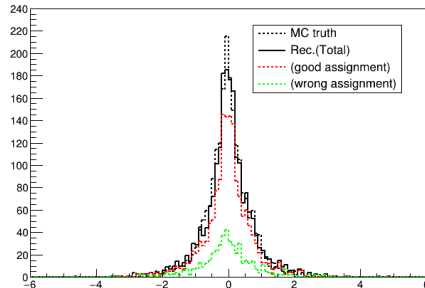
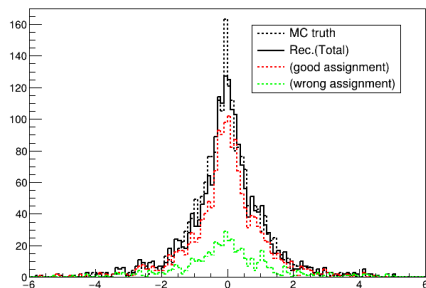


“Right” polarization

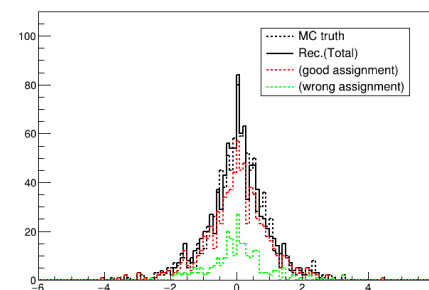
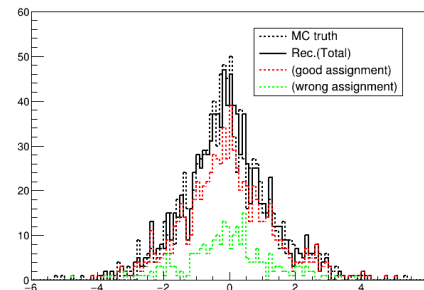
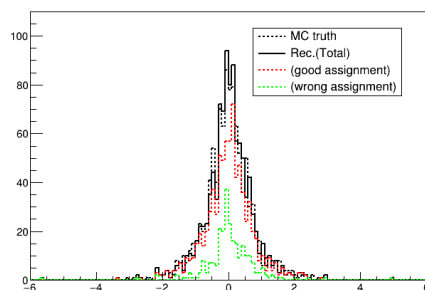
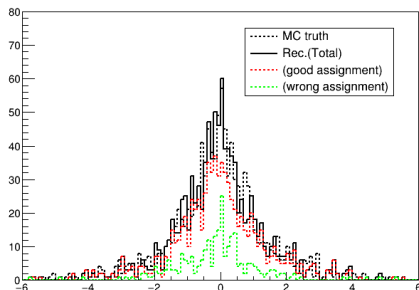


The distributions of $\omega - \Omega$ (bef. the quality cut)

“Left” polarization

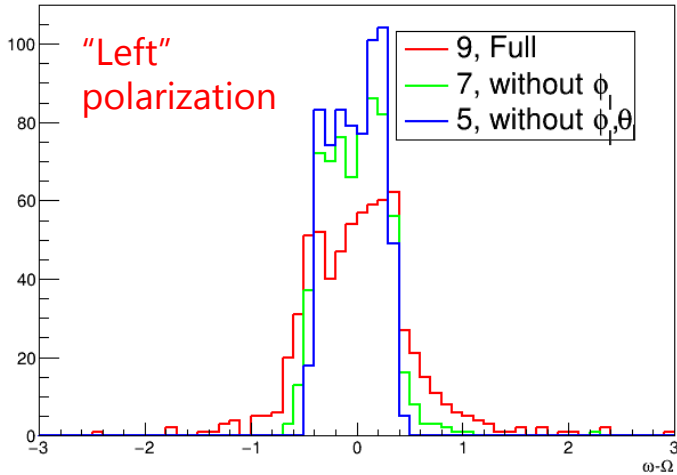


“Right” polarization



Relation of the helicity angles of μ^\pm and $\omega - \Omega$

$(\delta\tilde{F}_{2V}^\gamma)$



When we don't use the $\phi_{\mu^\pm}^{W^\pm}$ or $(\phi_{\mu^\pm}^{W^\pm}, \theta_{\mu^\pm}^{W^\pm})$, the $\omega - \Omega$ distribution becomes sharper, hence the sensitivity becomes lower.

$\rightarrow (\phi_{\mu^\pm}^{W^\pm}, \theta_{\mu^\pm}^{W^\pm})$ has a sensitivity to the ttZ/γ .

$(\text{Re}\delta\tilde{F}_{2A}^\gamma)$

